

## مقایسه نهشته‌های کربنیفر بالایی - پرمین بر مبنای کنودونت‌ها در ناحیه آباده (برش بناریزه و استقلال) با مناطق هم‌جوار

مریم نورالدینی<sup>۱\*</sup>، سمانه رحمتی<sup>۱</sup> و مهدی بزدی<sup>۱</sup>

<sup>۱</sup> دانشکده علوم، گروه زمین‌شناسی، دانشگاه اصفهان، اصفهان، ایران

تاریخ دریافت: ۱۳۸۷/۱۰/۱۶ تاریخ پذیرش: ۱۳۸۸/۰۱/۳۱

### چکیده

برش‌های مورد بررسی در جنوب باختری ایران مرکزی، در ناحیه آباده واقع شده است. سنگ‌شناسی اصلی رسوبات در این بخش شامل شیل، ماسه‌سنگ و سنگ‌آهک است. بررسی کنودونت‌های این برش منجر به شناسایی چهار زیست‌زون شد که شامل *Streptognathodus Streptognathodus delicatus Zone* (باشکرین - *Idiognathodus delicatus*)، *Neostreptognathodus pequensis Zone* (آرتینسکین) است. بر مبنای کنودونت‌های *oppletus Zone* (کازیموین تاژلین آغازین)، ژلین آغازین برای سازند سردر و آرتینسکین برای نهشته‌های پرمین (معادل سنی سازند خان) در این ناحیه در نظر گرفته شده است. بر این شناسایی شده سن باشکرین - ژلین آغازین برای سازند سردر و آرتینسکین برای نهشته‌های پرمین (معادل سنی سازند خان) در این ناحیه در نظر گرفته شده است. بر این اساس، مرز کربنیفر - پرمین در این ناحیه به صورت ناپیوستگی فراسایشی (Paraconformity) است. مقایسه این ناحیه با مناطق هم‌جوار نشان داد که این مناطق همانند دیگر نقاط ایران پس از اشکوب کازیموین از آب خارج شده و فراسایش شدیدی در ناحیه حاکم شده است. سپس با آغاز ذوب یخچال‌ها و در پرمین زیرین بر اثر پیشروی دوباره دریا، منطقه به زیر آب می‌رود البته حوضه رسوبی در این بخش از ایران مرکزی نسبت به مناطق هم‌جوار از ژرفای بسیار کمتری برخوردار بوده است.

**کلید واژه‌ها:** آباده، استقلال، بناریزه، زیست‌چینه‌نگاری، کنودونت

\*نویسنده مسئول: مریم نورالدینی

E-mail: maryam.nouradiny@gmail.com

### ۱- مقدمه

رسوبات کربنیفر بالایی ناحیه آباده در ایران مرکزی با سازند سردر و نهشته‌های پرمین زیرین با سازند سورمه شناخته می‌شود. بررسی‌های نشان داده است که نهشته‌های پالئوزویک بالایی در ناحیه آباده از سترار و رخساره یکسانی برخوردار نیستند. یکی از دلایل متفاوت بودن این نهشته‌ها در این ناحیه تأثیر فاز خشکی زایی (اپروژنیک) هرسینین بر ورق ایران در پالئوزویک بالایی است که سبب ایجاد فرازمین و فروزمنی‌های بسیار و شروع فراسایش شده است به گونه‌ای که سازند سردر در برش استقلال با ستراری در حدود ۶۲/۵ متر و در برش بناریزه ۴۱۳/۵۰ متر اندازه‌گیری شده است.

سنگ‌شناسی اصلی کربنیفر بالایی (سازند سردر) در برش استقلال شامل توالی ماسه‌سنگ با میان لایه‌های از سنگ‌آهک است که به تدریج به سمت بالای افق، از ستراری میان لایه‌های سنگ‌آهکی کاسته شده و با یک لایه کوارتزیتی پیمان می‌یابد. در این برش سازند سردر بدین هرگونه فسیل است و ماسه‌سنگ‌ها آثار لایه‌بندی متقطع نشان می‌دهند که نشان از کم ژرفای بودن حوضه رسوبی دارد. بر روی این توالی، نهشته‌های سنگ‌آهک ماسه‌ای با میان لایه‌های دولومیتی پرمین زیرین با ستراری در حدود ۷۷ متر حضور دارد.

در برش بناریزه سازند سردر مرکب از توالی شیل‌های کرم تا خاکستری با سنگ‌آهک‌های نازک‌لایه، سنگ‌آهک ماسه‌ای و میان لایه‌های ماسه‌سنگ است که از خود لایه‌بندی متقطع، دانه‌بندی تدریجی و حالت عدسی شکل نشان می‌دهند. نهشته‌های پرمین زیرین ستراری در حدود ۱۰۶ متر، که مشکل از شیل کرم تا خاکستری رنگ و ماسه‌سنگ دارند که در برخی بخش‌ها دارای لایه‌بندی متقطع با سنگ‌آهک‌های متوسط تا سترار لایه است. در ناحیه مورد بررسی بر اساس مشاهدات صحرایی، مرز نهشته‌های کربنیفر بالایی با توالی پرمین زیرین به صورت ناپیوستگی فراسایشی در نظر گرفته شده است (شکل ۳).

### ۲- سنگواره و سن

بر اساس بررسی‌های انجام گرفته بر روی کنودونت‌ها، در این دو برش زیست‌زون‌های اشاره شده در زیر قابل تشخیص هستند.

برای بررسی توالی کربنیفر بالایی - پرمین در منطقه آباده دو برش انتخاب شد. برش استقلال (برش اول) دارای موقعیت جغرافیایی  $15^{\circ} 15' 15''$  شمالی و  $31^{\circ} 42' 52''$  خاوری است و در کنار معدن استقلال واقع در  $10$  کیلومتری خاور شهرستان آباده قرار دارد. برش بناریزه (برش دوم) در  $40$  کیلومتری شمال خاور آباده و در نزدیکی روستای شورجستان با طول جغرافیایی  $31^{\circ} 34' 52''$  شمالی و عرض جغرافیایی  $22^{\circ} 44' 6''$  خاوری قرار گرفته است. محدوده مورد بررسی بین کمربند دگرگونی اقلید و فرورفتگی گاوخونی قرار دارد و قسمتی از کمربند آباده - همبست را تشکیل می‌دهد که شامل  $2000$  کیلومتر طول و  $25$  کیلومتر عرض در جهت شمال باختری و جنوب خاوری می‌شود. این کمربند بخشی از پهنه ایران مرکزی است و در نزدیکی این بخش زون برخورد خرد قاره ایران و صفحه آفریقا - عربستان (Neo-Tethys suture zone) قرار دارد که در زمین‌شناسی این منطقه تأثیر بسیاری داشته و موجب نبودهای چینه‌شناسی پالئوزویک زیرین و تغییرات جهانی آب و هوایی گشته است (Alavi, 1994).

نخستین بررسی‌های انجام شده در این منطقه توسط زمین‌شناسان شرکت نفت ایران و انگلیس در بین سال‌های  $1935$  تا  $1936$  انجام گرفته و برونزدهایی از توالی‌های کربنیفر، پرمین و تریاس در این محدوده گزارش شده است. بر این اساس، رسوبات پالئوزویک پایینی در این منطقه به طور عمده شامل دولومیت و ماسه‌سنگ‌های کوارتزیتی است که بر روی آن رسوبات دونین بالایی و سنگ‌آهک‌های کربنیفر زیرین قرار گرفته است. در طی کربنیفر بالایی و پرمین این کمربند به صورت فرازمین در آمده، از این رو نبود چینه‌ای در این زمان دیده می‌شود. در اواخر پرمین بالایی با تشکیل فروزمنی‌ها، توالی ستری از سنگ‌آهک با میان لایه‌های شیلی در مرز پرمین - تریاس آباده تشکیل شده است. (Taraz 1972) به بررسی توالی رسوبی کربنیفر - پرمین در شمال خاور آباده پرداخته است. وی نهشته‌های ماسه‌سنگی که با ناپیوستگی موازی (Paraconformity) در زیر نهشته‌های پیشوونده پرمین قرار می‌گیرد را با عنوان توالی کربنیفر بالایی معرفی کرده است. (Baghbani 1993) نیز مرز رسوبات کربنیفر - پرمین در جنوب آباده را به صورت ناپیوستگی هم شبیه بیان کرده است.

**- زیست‌زون‌های برش بناریزه:**
**1- زیست‌زون کنودونتی شماره ۱: *Idiognathodus delicatus* Zone**

این زیست‌زون حاوی کنودونت شاخص *Idiognathodus delicatus* Gunell, 1931 است. سنگ‌شناسی این زیست‌زون بیشتر به صورت سنگ‌آهک‌های مارنی و سنگ‌آهک‌های خاکستری تا تیره رنگ بسیار نازک لایه که دارای براکیوپودهای کوچک و ساقه کربنیفر است. حضور گونه *Idiognathodus delicatus* محول‌آسنی معادل باشکرین تا موسکوین را نشان می‌دهد.

**2- زیست‌زون کنودونتی شماره ۲: *Streptognathodus oppletus* Zone**

این زیست‌زون از لایه‌های سنگ‌آهک ماسه‌ای کرم- قهوه‌ای تا زرد دارای ساقه کربنیفر و سنگ‌آهک قهوه‌ای نازک تا متوسط لایه دارای بروزوا و براکیوپود تشکیل شده است. این زیست‌زون شامل نمونه‌های کنودونتی *Streptognathodus oppletus* Ellison, 1941 است که بیانگر سن سن کازیموین تا ژلین آغازین است.

**3- زیست‌زون کنودونتی شماره ۳: *Sweetognathus whitei* Zone**

این واحدها به صورت سنگ‌آهک قهوه‌ای نازک تا متوسط لایه همراه با بروزوا و براکیوپود است. این زیست‌زون شامل نمونه‌های کنودونتی زیر است: *Sweetognathus whitei* Rhodes, 1963; *Anchignathodus minutus* Ellison, 1941; *Sweetognathus inornatus* Ritter, 1986; *Diplognathodus augustus* Igo, 1981; حضور همزمان *Sweetognathus inornatus* و *Sweetognathus elongatus* در این واحدها نباید بیشتر از *Sweetognathus whitei* بیانگر این مطلب است که سن این واحدها نباید بیشتر از آرتینسکین باشد.

**4- زیست‌زون برش استقلال:**
**5- زیست‌زون کنودونتی شماره ۵: *Newstreptognathodus pequopensis* Zone**

این زیست‌زون شامل نمونه‌های کنودونتی زیر است:

*Sweetognathus inornatus* Ritter, 1986; *Sweetognathus cf. S. inornatus*; *Sweetognathus* spp.; *Newstreptognathodus pequopensis* Behenken, 1975 حضور گونه *Sweetognathus inornatus* در این واحد نشان می‌دهد سن این بخش نیز نباید بالاتر از آرتینسکین باشد.

**6- تعیین موز کربنیفر- پرمین در ناحیه مورد بروسی و مقایسه آن با مناطق**
**هم‌جوار**

سنگ‌های کربنیفر شناخته شده در ایران بیشتر به سن کربنیفر پایینی تا اوایل کربنیفر بالایی (حضور گونه‌های مختلف گاستریوسراس در برش کال سردر و حوض دو راه سن نهشته‌های کربنیفر را تا وستگالین افزایش می‌دهد) هستند. در اوایل کربنیفر پسین آغاز جنبش‌های زمین‌ساختی هم‌ارز هرسینین سبب بالا آمدگی سریع، خشکی زایی، خروج نواحی وسیعی از سکوی ایران و فرسایش ستبرای زیادی از سنگ‌های پالتوزوییک بالایی شده است (Yazdi, 1996).

در برش زلدو بر مبنای روزن‌بران شناسایی شده توالی پیوسته‌ای از سنگ‌های ژلین تا آسلین گزارش شده که بر این اساس موز کربنیفر- پرمین در این منطقه پیوسته است (Taheri & Vaziri-Moghaddam., 2006). در منطقه اثارک سازند شیشتو با ستبرایی در حدود ۴۰۰ متر بر روی سازند بهرام قرار دارد. در منطقه اردکان در ۱۰ کیلومتری جنوب روستای دهید بالاترین ردیف‌های مربوط به پالتوزوییک مشتمل نهشته‌ها بر اساس فسیلهای شناسایی شده تورنزنی است (Gorgij, 2002).

در بلوک کلمرد سنگ‌های کربنیفر شامل سنگ‌های کربناتی و تبخیری است که به عنوان سازند گچال معرفی می‌شود و تفاوت رخساره‌ای آشکار با سازند

آواری سردر در حوضه طبس دارد. توالی پرمین شناسایی شده در این منطقه با سازند غیررسمی خان شناسایی می‌شود (Aghanabati, 1975).

در البرز نیز سازند مبارک توسط رسوبات پیشرونده سازند نسن (پرمین بالایی) پوشیده می‌شود. شروع پیشروی در مکان‌های مختلف البرز هم‌زمان نیست به طوری که در دیگر نقاط البرز، سازند مبارک در زیر سازندهای مختلفی از جمله درود، الیکا و شمشک دیده می‌شود. در همه این نواحی این چرخه پیشروی با سنگ‌های تخریبی سرخ رنگ شروع و با سنگ‌های کربناتی کم ژرف‌خاتمه می‌باشد (Jeny, 1977).

Baghbani (1993) رسوبات کربنیفر منطقه آباده- همبست را برای اولین بار بر اساس روزن‌بران بررسی نموده است، این رسوبات بیشتر کربناتی آواری بوده و متعلق به کربنیفر میانی هستند که با ناپیوستگی هم‌شبیز رسوبات دریایی پرمین قرار می‌گیرند. Rabiee (2001) با بررسی زیست‌چینه‌نگاری رسوبات پالتوزوییک بالایی در منطقه دارچاله، سن سازند شیشتو را تورنزنین- ویزین و سازند سردر را نامورین بیان می‌کند. وی همچنین رسوبات پرمین منطقه یاد شده را متعلق به دو سازند و زوان و سورمه می‌داند که به صورت ناپیوسته بر روی کربنات‌های کربنیفر قرار گرفته‌اند.

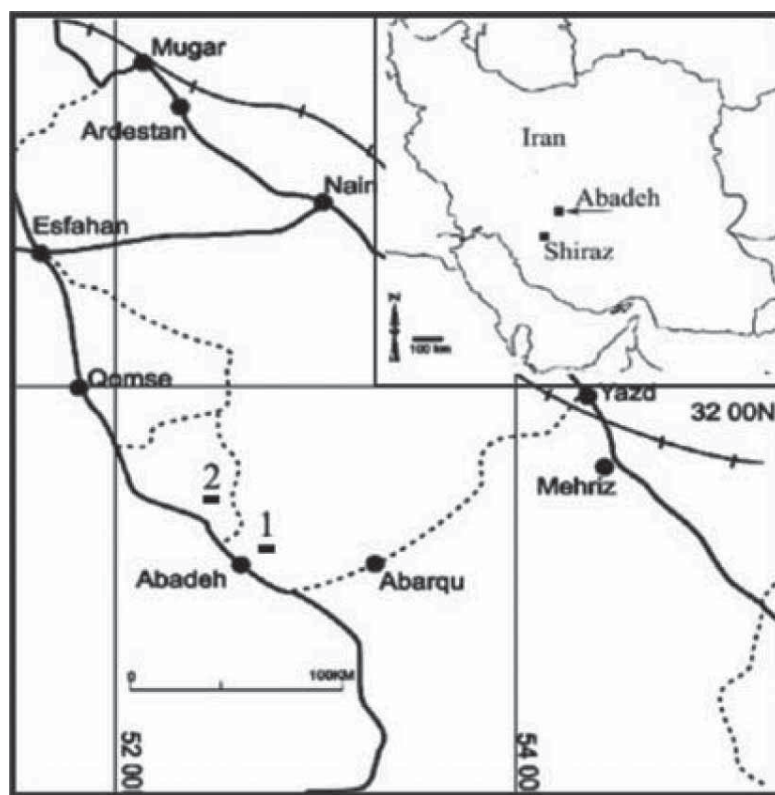
Boncheva (2007) بر اساس زیست‌زون‌های کنودونتی *expansa-sulcata zone* تا سنی *elongates zone* معادل تورنزنین پیشین تا استقانی را برای رسوبات کربنیفر بالایی در نظر می‌گیرد که با ناپیوستگی فرسایشی زیر رسوبات پرمین (سازند و زنان) قرار می‌گردد.

در برش‌های بناریزه و استقلال توالی پیشرونده پرمین با سنگ‌آهک ماسه‌ای، دانه‌خشن و قهوه‌ای رنگ شروع می‌شود که حاوی کنودونت‌های *Sweetognathus whitei*, *Anchignathodus minutus*, *Sweetognathus inornatus*, *Diplognathodus augustus*, *Newstreptognathodus pequopensis* آرتینسکین است. (Taraz (1972) بر اساس بررسی‌هایی که بر روی نهشته‌های پرمین کمریند آباده- همبست انجام داده است نهشته‌های نامبرده را به سازند سردر (کربنیفر بالایی) نسبت داده بود (شکل ۲). نهشته‌های منسوب به آرتینسکین در این ناحیه با یک موز فرسایشی بر روی سنگ‌آهک‌های ماسه‌ای کربنیفر به سن کازیموین- ژلین آغازین قرار می‌گیرند (شکل ۳ و ۴).

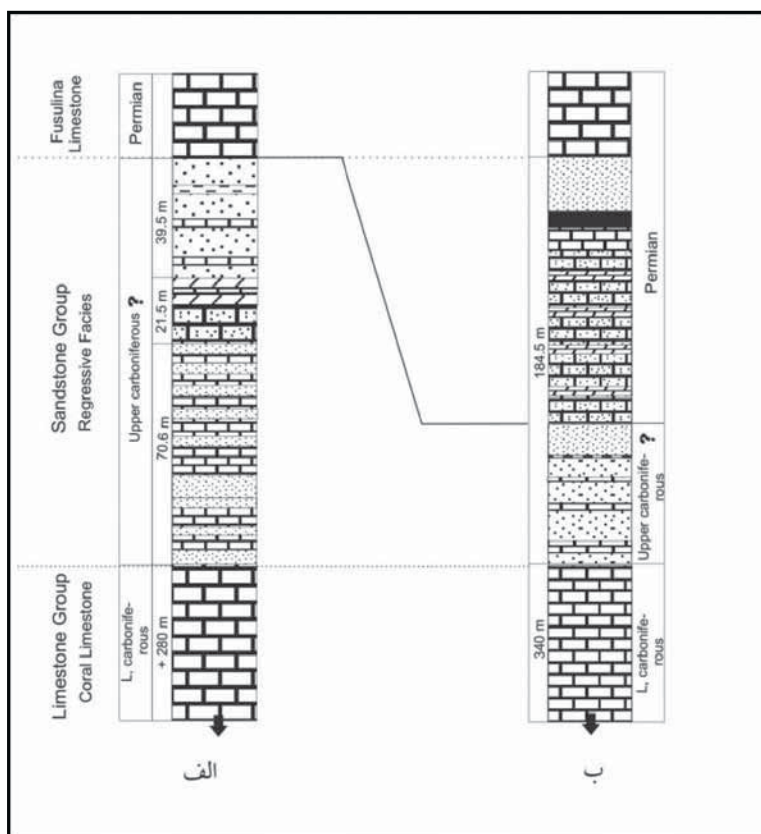
### ۳- نیجه‌گیری

بررسی‌های سنگ‌چینه‌نگاری برش‌های مورد بررسی در ناحیه آباده ناپیوستگی هم‌شبیز را بین نهشته‌های کربنیفر بالایی- پرمین نشان می‌دهد که به طور کامل قابل انطباق با مناطق مجاور است. بررسی‌های زیست‌چینه‌نگاری در این ناحیه نشان داد که این مناطق همانند دیگر نقاط ایران پس از اشکوب کازیموین از آب خارج شده و فرسایش شدیدی در ناحیه حاکم شده است. سپس با آغاز ذوب یخچال‌ها و در پرمین زیرین بر اثر پیشروی مجدد دریا، منطقه به زیر آب می‌رود.

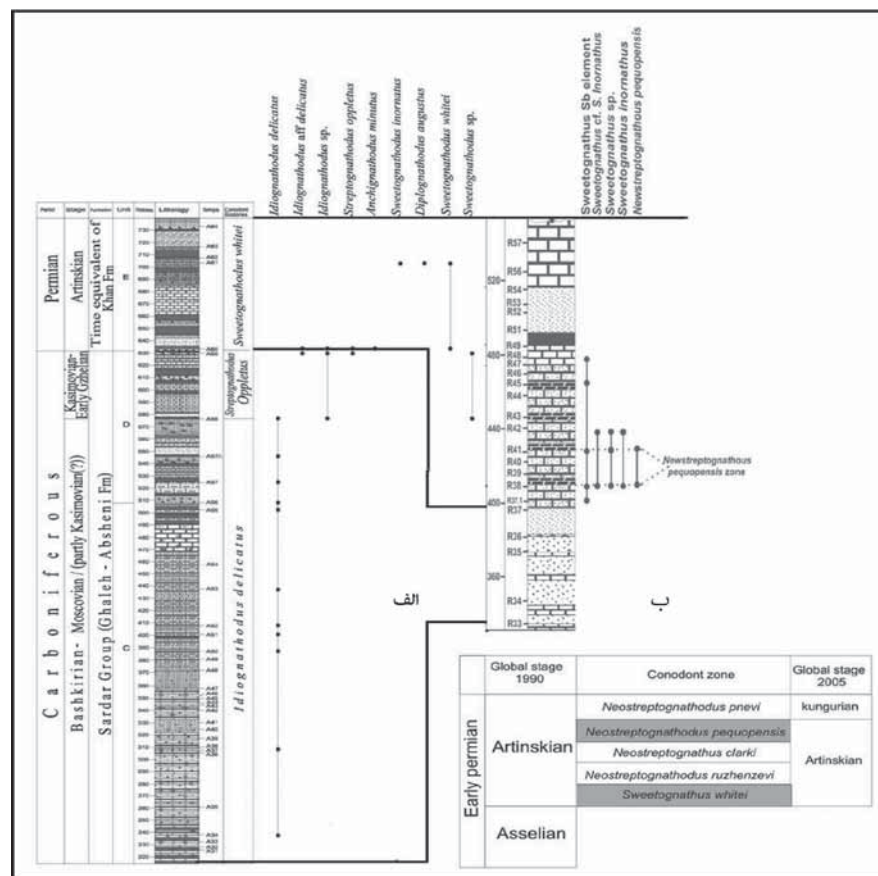
مجموعه رسوبی کربنیفر بالایی این ناحیه با سازند سردر قابل مقایسه است. رسوبات پرمین این منطقه به واحد یک سازند سرمه سرمه نسبت داده شده بود که با ناپیوستگی بر روی رسوبات کربنیفر بالایی قرار داشتند و سن گوادولوپین را بر اساس روزن‌بران نشان می‌دادند. بررسی‌های انجام گرفته بر اساس کنودونت‌ها نشان داد که رسوبات زیر این ناپیوستگی نیز متعلق به پرمین بوده و سنت معادل آرتینسکین دارند که با سازند خان در بلوک کلمرد قابل انطباق هستند (شکل ۴). مقایسه این حوضه با برش‌های زلدو، اثارک و رامشه نشان می‌دهد که حوضه رسوبی در این بخش از ایران مرکزی از ژرفای بسیار کمتری برخوردار بوده است.



شکل ۱- موقعیت جغرافیایی و راههای دستیابی به برش‌های مورد بررسی (۱- برش استقلال، ۲- برش بناریزه)

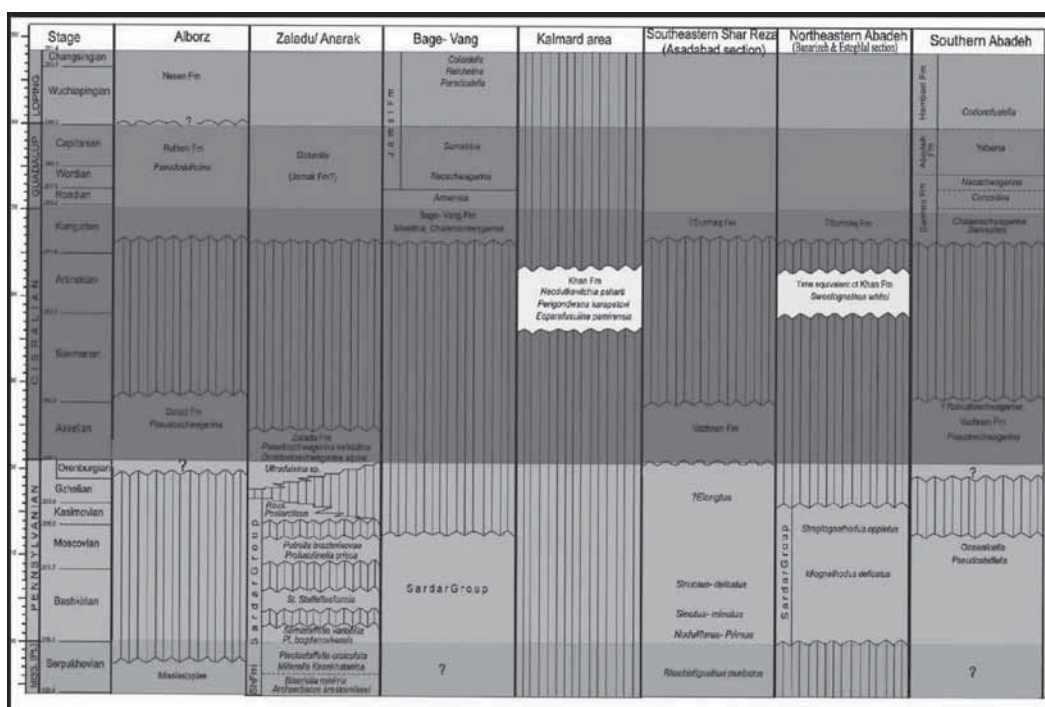


شکل ۲- مقایسه برش بررسی شده توسط طراز (الف) و برش استقلال(ب)



شکل ۳- پراکندگی کنودونت‌ها در برش‌های مورد بررسی و مقایسه دو برش از نظر سبرنا و زیست‌زون‌های

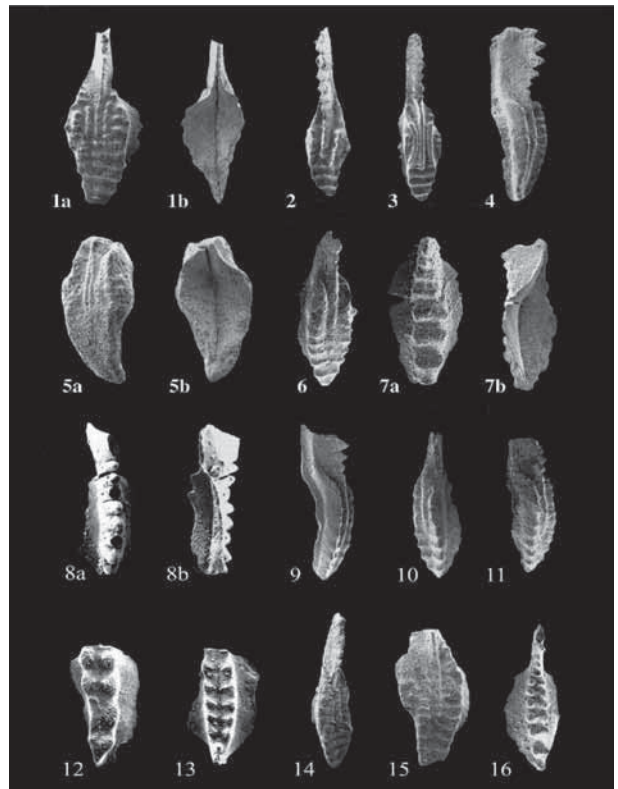
تعیین شده: الف) ستون زیست چینه‌نگاری برش بناریزه، ب) ستون زیست چینه‌نگاری برش استقلال



شکل ۴- ستون مقایسه برش‌های اصلی کربنیفر- پرمین در شمال، مرکز و خاور ایران. زل، باخ و نگ، شمال خاوری آباده و جنوب خاوری شهرضا (عارفی فرد و همکاران، ۱۳۸۵)، جنوب خاوری شهرضا، برش رامشه (Boncheva et al., 2007)، شمال خاوری آباده (نورالدینی و همکاران، ۱۳۸۸).

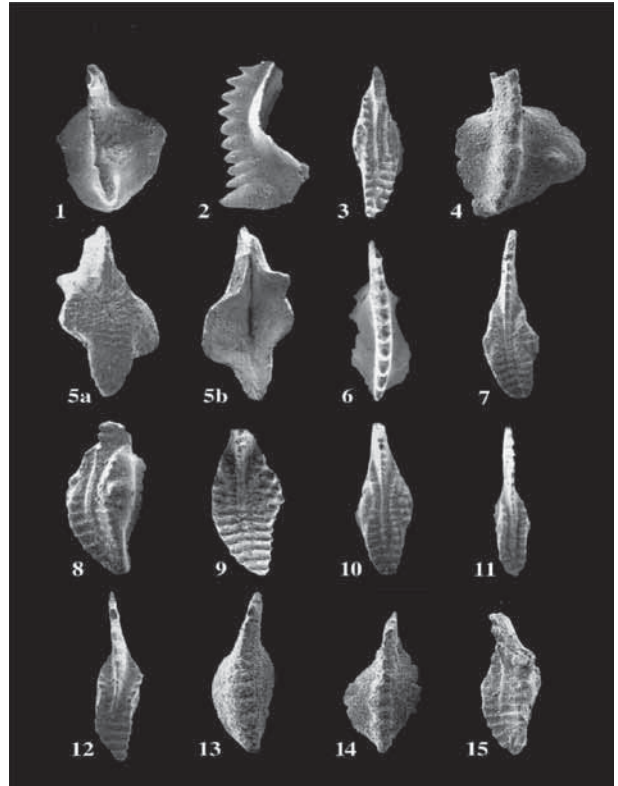
## Plate 1

- Fig. 1, 2, 3- *Idiognathodus delicatus* GUNELL, 1931. Sardar Group, Banarize section. Sample 57. 1. x67.5, 2. x130, 3. x108.
- Fig. 4, 9- *Streptognathodus oppletus* ELLISON, 1941. Sardar Group, Banarize section. Sample 58, 4. x112, 10. x46.
- Fig. 5-6, 10-11, 14-15- *Idiognathodus* sp., Sardar Group, Banarize section Sample 58, 5, 6. x94,
- Fig. 7- *Sweetognathus* sp., Khan Formation, Banarize section Sample 58, 7. x 121,
- Fig. 8- *Idiognathodus inornatus*. RITTER, 1986 Khan Formation, Esteghlal section sample 38, 42, x118
- Fig. 12, 13- *Neostreptognathodus pequopensis* BEHENKEN, 1975 Khan Formation Esteghlal section sample 38., x 220., x218
- Fig. 16- *Sweetognathus whitei* RHODES, 1963. Khan Formation, sample 61, 17. x113.



## Plate 2

- Fig. 1, 4- *Diplognathodus augustus* IGO, 1981 Khan Formation, sample 60, 1. x48, 4. x12.
- Fig. 2, 6- *Anchignathodus minutus* ELLISON, 1941. Khan Formation, Sample 60, 2. x111, 6. x127.5.
- Fig. 3, 10-12- *Idiognathodus* aff. *Delicatus* GUNELL, 1931. Sardar Group, sample 59, 60. Fig. 3, sample 60, Figs. 10-12, sample 59, 3. x87, 10. x59, 11. x96, 12. x113.
- Fig. 5, 8-9, 15- *Idiognathodus* sp., Sardar Group, sample 59, 60, 61. Fig. 5, sample 60, figs. 8-9, sample 59 fig. 15, sample 61, , 5. x55, 8. x84, 9. x87, 15. x68.
- Fig. 7- *Streptognathodus* sp., Sardar Group, sample 59.. x56.4.
- Fig. 13-14- *Sweetognathus inornatus* RITTER, 1986. Khan Formation, sample 61, EUIC 3783-4, 13. x97, 14. x99.



**کتابخانه**

نورالدینی، م، رحمتی، س. و بزدی، م، ۱۳۸۸- مقایسه نهشته‌های کربنیفر پسین- پرمین ناحیه آباده (برش استقلال و بناریزه) با مناطق همچوar بر مبنای کنودونتها. مجموعه مقالات سومین همایش انجمن دیرینه‌شناسی ایران. دانشگاه فردوسی مشهد. صفحات: ۳۱۶-۳۱۲.

عارفی فرد، س، آدابی، م.ح، خسرو تهرانی، خ، آقانباتی، ع، شمیرانی، ا، دیویداف، و، ۱۳۸۵- بیواستراتیکرافی سازنده‌های خان و جمال در مناطق کلمرد، شتری و شیرگشت (ایران مرکزی) بر مبنای فرامینیفرها (فوژولینید) ص ۳، سال دوم، فصلنامه زمین‌شناسی ایران، شماره ۴.

**References**

- Aghanabati, S. A., 1975- Etude geologique de la region de Kalmard (W. Tabas): PHD thesis, Gronobel, France, 623 p.
- Alavi, M., 1994- Tectonics of the Zagros orogenic belt of Iran: New data and interpretation, Tectonophysics. 229, pp. 211-238.
- Baghbani, D., 1993- The Permian sequence in the Abadeh region, central Iran, p. 7-22. In Nairn, A.E.M. and Koroteev, A.V. (eds.), Contributions to Eurasian geology. Occasional Publication Earth Sciences Research Institute, University of South Carolina, New Series 9B.
- Boncheva, I., Bahrami, A., Yazdi, M. and Toraby, H., 2007- Carboniferous conodont biostratigraphy and Late Palaeozoic depositional evolution in south central Iran (Asadabad section –central Iran): Rivista Italiana di Paleontologia e Stratigrafia, v. 113, p. 329-356.
- Gorgij, M. N., 2002- Biostratigraphy and sequence stratigraphy of carboniferous deposits in central Iran. Ph.D. Thesis, Isfahan University, Isfahan, Iran.
- Jenny, J. G., 1977- Géologie et stratigraphie de l'Elbourz oriental entre Aliabad et Shahrud, Iran. Thèse présentée à la Faculté des Sciences de l'Université de Genève, 1-238.
- Jenny-Deshusses, C., 1983- le Permien de l'Elbourz central et oriental Iran Stratigraphie et micropaleontologie foraminifères et algues. Thèse Université Génève n 2103.
- Leven, E. J. & Gorgij, M. N., 2006- Pennsylvanian Tratigraphy and Fusulinids of Central and Eastern Iran: Paleontologica Electronica, v. 9, 1-36p.
- Leven, E., 2003- Carboniferous- Permian stratigraphie and fusulinids of East Iran. Gzhelian and Asselian deposits of the Ozbak- Kuh Region: Rivista Italiana di Paleontologia e Stratigrafia, v. 109/3, p. 499-515.
- Orchard, M. J. and Forster, P. J. L., 1988- Permian conodont biostratigraphy of the Harper Ranch beds, near Kamloops, South-Central British Columbia: Geological Survey of Canada p. 1-27.
- Rabiee, Z., 2001- Biostratigraphy upper Paleozoic deposits (carboniferous & Permian) deposits in darchale area based on macrofossils and microfossils: Msc thesis Esfahan university, 128p.
- Ruttner, A., Nabavi, M. and Hajian, J., 1968- Geology of the Shirgesht area (Tabas area, East Iran): Geological Survey of Iran, Report No. 4:1-133.
- Stepanov, D. L., 1967- Carboniferous stratigraphy of Iran, In:6 Conger. INT. Tratiger. Geol. Carboniferous, IV, Sheffield.
- Stöcklin, J., Eftekhar- nezhad, J. and Hushmand-zadeh, A., 1965- Geology of the Shotori Range (Tabas area, East Iran), Geological Survey of Iran, p.1-63.
- Taheri, A. & Vaziri-Moghaddam., H., 2006- stratigraphy and paleontology of the upper carboniferous-Permian Rocks in Zaladu Section and its Comparison with Other Area in Iran: Research Jurnal of Univercity of Isfahan, v. 23p. 45-56
- Taraz, H., 1972- Geology de la Surmaq- Deh bid, Central Iran Geological Survey of Iran report No. 37.
- Went Went, J., Kaufmann, B., Belka, Z., Farsan, N. & Karimibavandpur, A., 2005- Devonian/ Lower Carboniferous stratigraphy, Facies patterns and palaeogeography of Iran Part II. (Northen and Central Iran): Acta Geologica Polonica, v. 52, p. 129-168.
- Went, J., Kaufmann, B., Belka, Z., Farsan, N. & Karimibavandpur, A., 2002- Devonian/ lower Carboniferous stratigraphy, Facies patterns and palaeogeography of Iran PartI. (Southeastern): Acta Geologica Polonica, v. 52, p. 129-168.
- Yazdi, M., 1996- New age and paleogeographical history re-determination of the Sar-dar conglomerate (Tabas, East Iran) based on conodont species, comparison of new chronological framework to the age of the Upper Paleozoic sediments at Prapronto, Slovenia. Earth Sciences Periodical, No.19, Spring 1996, Geological Survey Iran.
- Yazdi, M., 1999- Late Devonian-carboniferous conodonts from Eastern Iran: Rivista Italiana Di Paleontologia E Stratigrafia, v. 105, p. 167-200.

## Petrography and Geochemistry of Dolomites in Kangan Formation, Persian Gulf

N. Khodaei<sup>1,2</sup>, M. H. Adabi<sup>1\*</sup>, S. A. Moallemi<sup>1,2</sup> & M. Moradpour<sup>2</sup>

<sup>1</sup>Faculty of Earth Science, Shahid Beheshti University, Tehran, Iran

<sup>2</sup>Research Institute of Petroleum Industry, Tehran, Iran

Received: 2008 May 10      Accepted: 2008 December 10

### Abstract

The Kangan Formation is a carbonate-evaporate sequence that is considered as a part of the largest carbonate reservoir in the South Pars Field at Persian Gulf. Petrography analysis led to the recognition of 5 different dolomite types: such as dolomicrite, dolomicrospar, dolospar, dolomite cement and saddle dolomite. Elemental studies on dolomicrite and dolomicrospar samples show a relative increase of Sr and Na and relative decrease of Fe and Mn in comparison with the dolomicrosparite samples. It is notable that the oxygen-carbon isotope trend in dolomite samples are due to slight influence of meteoric diagenesis (about dolomites type I, II and III) and burial diagenesis (about dolomites type IV and V). The dolomicrites have been undergone slight meteoric diagenesis, although they have formed in sabkha environment. The source of Mg for dolomicrites is the magnesium of seawater and interstitial waters equilibrium with seawater and on the other hand probably for the coarser grain dolomites in the Kangan Formation is connate waters and basinal brines. Based on the heaviest oxygen isotope in dolomicrite samples, paleotemperature of depositional environment of the Kangan Formation was around 44.5°C.

**Keywords:** Petrography, Geochemistry, Dolomitization, Kangan Formation, South Pars

For Persian Version see pages 165 to 174

\*Corresponding author: M. H. Adabi; E-mail: mhadabi@postoffice.utias.edu.au

## Comparision of Carboniferous- Permian Deposits in Abadeh Areas (Banarizeh & Esteghlal Sections) with Neighborhood Area Based on Conodont

M. Nouradiny<sup>1\*</sup>, S. Rahmati<sup>1</sup> & M. Yazdi<sup>1</sup>

<sup>1</sup> Faculty of Science, Department of Geology, University of Esfahan, Esfahan, Iran

Received: 2009 January 05      Accepted: 2009 April 20

### Abstract

The studied sections are located in southwestern of central Iran. Main lithology of these sections are including shale, sandstone and limestone. Four biozones had been recognized base on Conodont. That contain *Idiognathodus delicatus* Zone, *Streptognathodus oppletus* Zone, *Sweetognathus whitei* Zone. and *Neostreptognathodus pequopsis* Zone. Based on recognized conodont, the age reveal for Sardar Formation is Bashkirian- early Gzhelian and the Permian deposits are Artinskian (khan formation age equivalent). In this sections Carboniferous- Permian boundary has been seen paraconformity. Comparison this area with neighborhood showed after Kasimovian we have upward and erosion in these areas and with started melting due to glacial epoch in lower Permian so these areas covered with water although we have shallow basin comparable with another areas in Central Iran.

**Keywords:** Abadeh, Esteghlal, Banarizeh, Biostatigraphy, Conodont

For Persian Version see pages 175 to 180

\* Corresponding author: M. Nouradiny; E-mail: maryam.nouradiny@gmail.com